

Mit pneumatischen und elektrischen Antrieben

ARI-STEVI® 425 / 426

**Pneumatischer Antrieb
ARI-DP34-35**

- Antrieb reversierbar
- Antrieb mit Rollmembran
- Stelldruck max. 6 bar
- Spindel durch Faltenbalg geschützt
- Wartungsarme O-Ring-Abdichtung mit flexibler Führung
- Anbau von Zusatzteilen gemäß DIN IEC 60534-6

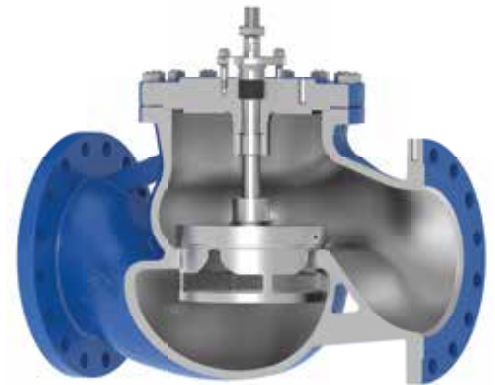
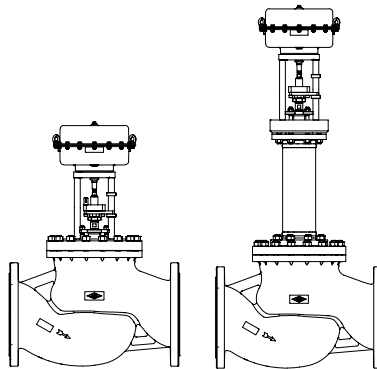


Fig. 425

Seite 4

ARI-STEVI® 425 / 426

**Elektrischer Antrieb
AUMA SAR 07.6-16.2**

- Schutzart IP 67
- 2 Drehmomentschalter
- 2 Wegschalter
- Handnotbetätigung
- Thermoschutz des Motors
- Zusatzgeräte lieferbar, z.B. Potentiometer
- Ex-Ausführung lieferbar
- Gekapselte Lineareinheit

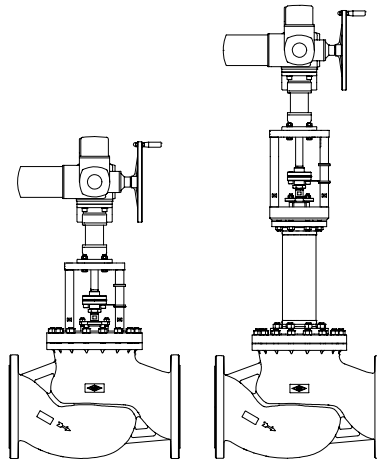


Fig. 426

Seite 10

| Figur | Nenndruck | Werkstoff | Nennweite | |
|---|-----------|-----------|-----------|---|
| 22.425 / 22.426 | PN16 | 5.3103 | DN300 | Angaben / Einschränkungen der Regelwerke sind zu beachten! Die Zulassung zur Herstellung gemäß TRB 801 Nr. 45 ist vorhanden. Das Einsatzgebiet der Armatur unterliegt der Verantwortung des Anlagenplaners bzw. -betreibers. Beständigkeit und Eignung sind zu prüfen und beim Hersteller anzufragen (siehe Produktübersicht und Beständigkeitsliste). |
| 34.425 / 34.426 | PN25 | 1.0619+N | DN300-500 | |
| 35.425 / 35.426 | PN40 | 1.0619+N | DN300-500 | |
| Andere Werkstoffe und Ausführungen auf Anfrage. | | | | |

| Spindelabdichtung | | |
|-------------------|-------------------------------------|--|
| Fig. 425 | standard | optional |
| | | |
| | II. PTFE-Packung -10°C bis 250°C | I. EPDM-Abdichtung -10°C bis 150°C (bei Wasser und Wasserdampf bis 180°C zulässig) II. Reingraphit-Packung -10°C bis 450°C |

| Fig. 426 | standard | optional |
|----------|--|---|
| | | |
| | III. Edelstahl-Faltenbalg mit Reingraphit -60°C bis 450°C | III. Edelstahl-Faltenbalg mit EPDM-Abdichtung -60°C bis 150°C (bei Wasser und Wasserdampf bis 180°C zulässig) |

Druck-Temperatur-Zuordnung Zwischenwerte der max. zulässigen Betriebsdrücke dürfen durch lineare Interpolation zwischen dem nächstliegenden niederen und höheren Temperaturwert errechnet werden.

| nach DIN EN 1092-2 | | | -60°C bis <-10°C ¹⁾ | -10°C bis 120°C | 150°C | 200°C | 250°C | 300°C | 350°C | 400°C | 450°C |
|--------------------|------|-------|--------------------------------|-----------------|-------|-------|-------|-------|-------|-------|-------|
| 5.3103 | PN16 | (bar) | auf Anfrage | 16 | 15,5 | 14,7 | 13,9 | 12,8 | 11,2 | -- | -- |
| nach ARI-Werknorm | | | -60°C bis <-10°C ¹⁾ | -10°C bis 120°C | 150°C | 200°C | 250°C | 300°C | 350°C | 400°C | 450°C |
| 1.0619+N | PN25 | (bar) | 18,7 | 25 | 23,9 | 22 | 20 | 17,2 | 16 | 14,8 | 8,2 |
| 1.0619+N | PN40 | (bar) | 30 | 40 | 38,1 | 35 | 32 | 28 | 25,7 | 23,8 | 13,1 |

¹⁾ Ventil mit verlängertem Ventil-Oberteil, Schrauben und Muttern aus A4-70 (bei Temperaturen unter -10°C)

| Kegelausführung standard | | | Führung | Stellverhältnis |
|--|---|--|---------------------------|-----------------|
| Laternenkegel metallisch dichtend | <ul style="list-style-type: none"> - Leckageklasse IV nach DIN EN 60534-4 - Kennlinie: <ul style="list-style-type: none"> - gleichprozentig (g/p) (modifiziert) - linear (lin) | | Kegelschaft / Sitzring | 30 : 1 |
| Kegelausführung optional | | | Führung | Stellverhältnis |
| Laternenkegel mit PTFE-Weichdichtung (max. 200°C) | <ul style="list-style-type: none"> - Leckageklasse VI nach DIN EN 60534-4 - Kennlinie: <ul style="list-style-type: none"> - gleichprozentig (g/p) (modifiziert) - linear (lin) | | Kegelschaft | 30 : 1 |
| Laternenkegel mit Druckentlastung metallisch dichtend Kolbendichtelement: PTFE mit Edelstahlfeder (max. 200°C) | <ul style="list-style-type: none"> - Leckageklasse IV nach DIN EN 60534-4 - Kennlinie: <ul style="list-style-type: none"> - gleichprozentig (g/p) (modifiziert) - linear (lin) | | Kegelschaft | 30 : 1 |
| Lochkegel metallisch dichtend optional: Druckentlasteter Lochkegel metallisch dichtend Kolbendichtelement: PTFE mit Edelstahlfeder (max. 200°C) | <ul style="list-style-type: none"> - Leckageklasse IV nach DIN EN 60534-4 - Kennlinie: <ul style="list-style-type: none"> - gleichprozentig (g/p) (modifiziert) - linear (lin) ➔ Durchflussrichtung für Gase und Dämpfe zur Minderung des Schallpegels ⚡ Durchflussrichtung für Flüssigkeiten bei kritischen Betriebszuständen (Kavitation / Flashing) | | Kegelschaft / Sitzring | 30 : 1 |

Stellventil in Durchgangsform mit pneumatischem Antrieb ARI-DP

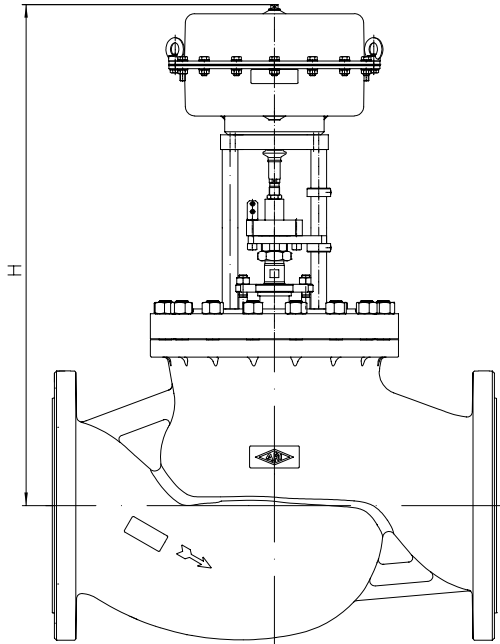


Fig. 425

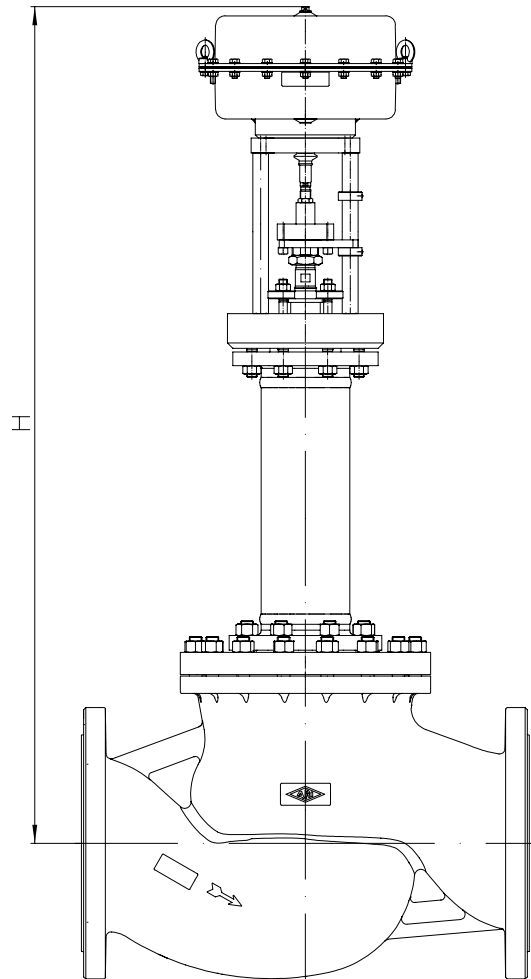
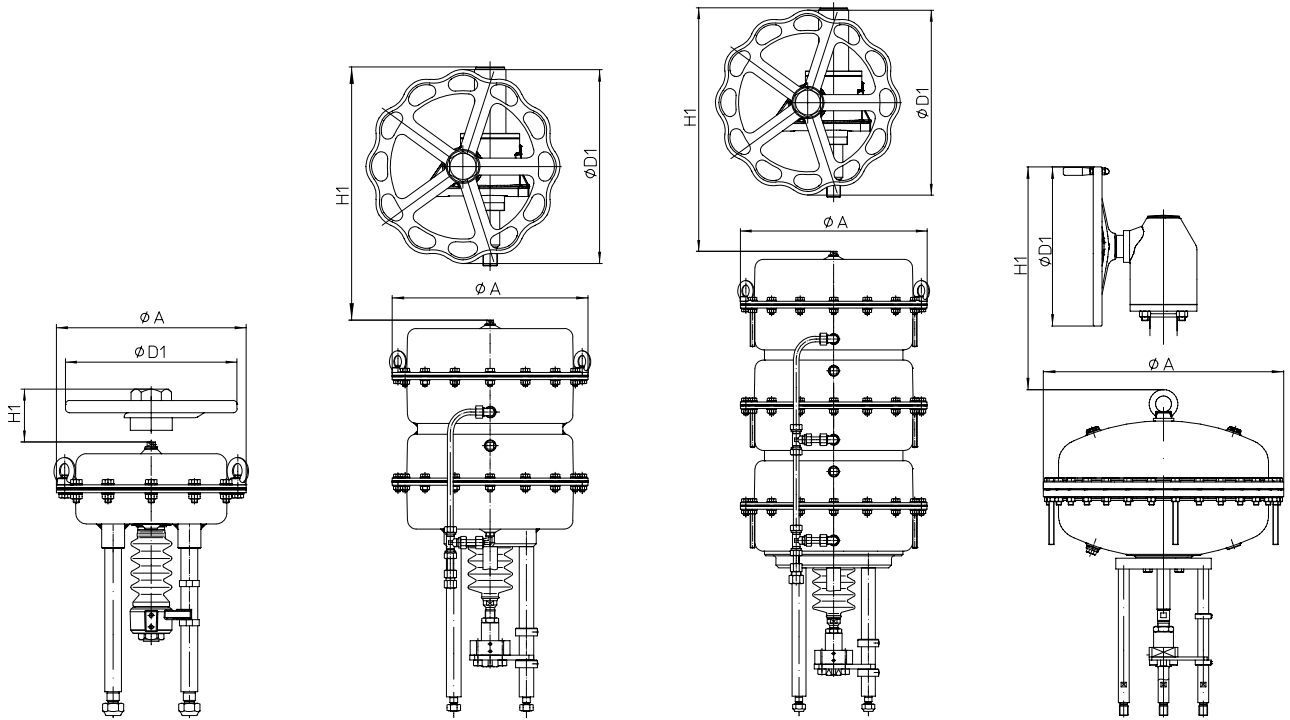


Fig. 426

Bauhöhen und Gewichte

| DN | | | | 300 | 350 | 400 | 500 |
|----------|---------|-----------|------|------|------|------|------|
| Fig. 425 | DP34 | H | (mm) | 956 | 1013 | -- | -- |
| | | PN16 | (kg) | 411 | -- | -- | -- |
| | | PN25 / 40 | (kg) | 467 | 608 | -- | -- |
| | DP34T | H | (mm) | 1214 | 1271 | -- | -- |
| | | PN16 | (kg) | 482 | -- | -- | -- |
| | | PN25 / 40 | (kg) | 538 | 679 | -- | -- |
| | DP34Tri | H | (mm) | 1436 | 1493 | -- | -- |
| | | PN16 | (kg) | 516 | -- | -- | -- |
| | | PN25 / 40 | (kg) | 572 | 713 | -- | -- |
| | DP35 | H | (mm) | 1395 | 1452 | 1469 | 1576 |
| | | PN16 | (kg) | 681 | -- | -- | -- |
| | | PN25 / 40 | (kg) | 737 | 878 | 1136 | 1532 |
| Fig. 426 | DP34 | H | (mm) | 1584 | 1642 | -- | -- |
| | | PN16 | (kg) | 503 | -- | -- | -- |
| | | PN25 / 40 | (kg) | 557 | 695 | -- | -- |
| | DP34T | H | (mm) | 1842 | 1900 | -- | -- |
| | | PN16 | (kg) | 574 | -- | -- | -- |
| | | PN25 / 40 | (kg) | 628 | 766 | -- | -- |
| | DP34Tri | H | (mm) | 2064 | 2122 | -- | -- |
| | | PN16 | (kg) | 608 | -- | -- | -- |
| | | PN25 / 40 | (kg) | 662 | 800 | -- | -- |
| | DP35 | H | (mm) | 2023 | 2081 | 2100 | 2198 |
| | | PN16 | (kg) | 773 | -- | -- | -- |
| | | PN25 / 40 | (kg) | 827 | 965 | 1196 | 1602 |

Weitere Abmessungen siehe Seite 12.



DP34

DP34T

DP34Tri

DP35

| Antriebsdaten | | DP34 | DP34T | DP34Tri | DP35 |
|-------------------------|--------------------|------|-------|---------|------|
| Ø A | (mm) | | 405 | | 755 |
| Membranfläche | (cm ²) | 800 | 1600 | 2400 | 2800 |
| Handnot- verstellung | Ø D1 | | 400 | | 500 |
| | H1 | 442 | 635 | 635 | 731 |
| | Gewicht | 17 | | 41 | 49 |

Weitere Technische Daten zum Antrieb: siehe Datenblatt ARI-DP.

max. zulässige Schließdrücke bei Anströmung gegen Schließrichtung des Kegels und bei P2 = 0.
Begrenzung durch Druck-Temperatur-Zuordnung beachten, siehe Seite 2.

| DN | | | | | | | 300 | | | 350 | | | 400 | | | 500 | | |
|---|---|-----------|---------------------------------|-----|-------------|-------|-----|------|------|------|------|------|------|------|------|------|------|------|
| Laternenkegel | Kvs-Wert (m³/h) | | | | | | 630 | 1000 | 1500 | 1000 | 1500 | 1800 | 1500 | 1800 | 2500 | 1800 | 2500 | 4000 |
| | max. Differenzdruck ¹⁾ (bar) | | | | | | 14 | 12 | | 14 | 12 | | 12 | | | 12 | 10 | |
| Lochkegel | Kvs-Wert (m³/h) | | | | | | 400 | 630 | 1000 | 630 | 1000 | 1500 | 1000 | 1500 | 1800 | 1500 | 1800 | 2500 |
| | max. Differenzdruck ¹⁾ (bar) | | | | | | 30 | | | 30 | | | 30 | | | 30 | | |
| Sitz-Ø (mm) | | | | | | | 200 | 250 | 301 | 250 | 301 | 351 | 301 | 351 | 380 | 351 | 380 | 480 |
| Hub (mm) | | | | | | | 65 | 90 | | 65 | 90 | 120 | 90 | 120 | | 120 | | |
| DP34 800 cm² Feder schließt  (durch Feder ausfahrend) | Federbereich (bar) | 1,0 - 2,0 | erforderlicher Stelldruck (bar) | 2,3 | I./II./III. | (bar) | 1,7 | 1,0 | | 1,0 | | | | | | | | |
| | | 2,0 - 4,0 | | 4,5 | I./II./III. | (bar) | 4,1 | 2,6 | | 2,6 | | | | | | | | |

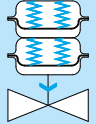
| DN | | | | | | | 300 | | | 350 | | | 400 | | | 500 | | |
|--|---|---|--|-------------|-------|------|-----|------|------|------|------|------|------|------|------|------|------|------|
| Laternenkegel | Kvs-Wert (m³/h) | | | | | | 630 | 1000 | 1500 | 1000 | 1500 | 1800 | 1500 | 1800 | 2500 | 1800 | 2500 | 4000 |
| | max. Differenzdruck ¹⁾ (bar) | | | | | | 14 | 12 | | 14 | 12 | | 12 | | | 12 | 10 | |
| Lochkegel | Kvs-Wert (m³/h) | | | | | | 400 | 630 | 1000 | 630 | 1000 | 1500 | 1000 | 1500 | 1800 | 1500 | 1800 | 2500 |
| | max. Differenzdruck ¹⁾ (bar) | | | | | | 30 | | | 30 | | | 30 | | | 30 | | |
| Sitz-Ø (mm) | | | | | | | 200 | 250 | 301 | 250 | 301 | 351 | 301 | 351 | 380 | 351 | 380 | 480 |
| Hub (mm) | | | | | | | 65 | 90 | | 65 | 90 | 120 | 90 | 120 | | 120 | | |
| DP34 800 cm² Stelldruck schließt  (durch Feder einfahrend) | erforderlicher Stelldruck (bar) | 2 | | I./II./III. | (bar) | 1,7 | 1 | | | | | | | | | | | |
| | | 3 | | I./II./III. | (bar) | 4,1 | 2,6 | | | | | | | | | | | |
| | | 4 | | I./II./III. | (bar) | 6,6 | 4,1 | | | | | | | | | | | |
| | | 5 | | I./II./III. | (bar) | 9 | 5,7 | | | | | | | | | | | |
| | | 6 | | I./II./III. | (bar) | 11,5 | 7,3 | | | | | | | | | | | |

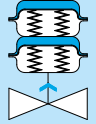
- I. Fig. 425: EPDM-Abdichtung
- II. Fig. 425: PTFE- / Reingraphit-Packung
- III. Fig. 426: Faltenbalgabdichtung

¹⁾ max. zul. Differenzdruck bei Durchfluss

²⁾ max. zulässiger Stelldruck: 6 bar Einschränkung: a) 5 bar b) 4,5 bar c) 4 bar d) 3,5 bar e) 3 bar f) 2,5 bar

max. zulässige Schließdrücke bei Anströmung gegen Schließrichtung des Kegels und bei P2 = 0.
Begrenzung durch Druck-Temperatur-Zuordnung beachten, siehe Seite 2.

| DN | | 300 | | | 350 | | | 400 | | | 500 | | | | | | | |
|---|-----------------------------------|-----------|---------------------------------|-----|-------------|-------|------|------|------|------|------|------|------|------|------|------|--|--|
| Laternenkegel | Kvs-Wert | (m³/h) | | | 630 | 1000 | 1500 | 1000 | 1500 | 1800 | 1500 | 1800 | 2500 | 1800 | 2500 | 4000 | | |
| | max. Differenzdruck ¹⁾ | (bar) | | | 14 | | 12 | 14 | | 12 | | 12 | | 12 | | 10 | | |
| Lochkegel | Kvs-Wert | (m³/h) | | | 400 | 630 | 1000 | 630 | 1000 | 1500 | 1000 | 1500 | 1800 | 1500 | 1800 | 2500 | | |
| | max. Differenzdruck ¹⁾ | (bar) | | | 30 | | | 30 | | | 30 | | | 30 | | | | |
| Sitz-Ø | | (mm) | | | 200 | 250 | 301 | 250 | 301 | 351 | 301 | 351 | 380 | 351 | 380 | 480 | | |
| Hub | | (mm) | | | 65 | | 90 | 65 | 90 | 120 | 90 | 120 | | 120 | | | | |
| DP34T 1600 cm² Feder schließt  (durch Feder ausfahrend) | Federbereich (bar) | 0,4 - 1,2 | erforderlicher Stelldruck (bar) | 1,7 | I./II./III. | (bar) | 1,2 | | | | | | | | | | | |
| | | 1,0 - 2,0 | | 2,5 | I./II./III. | (bar) | 4,1 | 2,6 | 2,6 | | | | | | | | | |
| | | 2,0 - 4,0 | | 4,5 | I./II./III. | (bar) | 9 | 5,7 | 5,7 | | | | | | | | | |

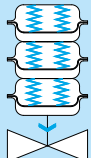
| DN | | 300 | | | 350 | | | 400 | | | 500 | | | | | | | |
|--|-----------------------------------|-----------------|-------------|-------|------|------|------|------|------|------|------|------|------|------|------|------|--|--|
| Laternenkegel | Kvs-Wert | (m³/h) | | | 630 | 1000 | 1500 | 1000 | 1500 | 1800 | 1500 | 1800 | 2500 | 1800 | 2500 | 4000 | | |
| | max. Differenzdruck ¹⁾ | (bar) | | | 14 | | 12 | 14 | | 12 | | 12 | | 12 | | 10 | | |
| Lochkegel | Kvs-Wert | (m³/h) | | | 400 | 630 | 1000 | 630 | 1000 | 1500 | 1000 | 1500 | 1800 | 1500 | 1800 | 2500 | | |
| | max. Differenzdruck ¹⁾ | (bar) | | | 30 | | | 30 | | | 30 | | | 30 | | | | |
| Sitz-Ø | | (mm) | | | 200 | 250 | 301 | 250 | 301 | 351 | 301 | 351 | 380 | 351 | 380 | 480 | | |
| Hub | | (mm) | | | 65 | | 90 | 65 | 90 | 120 | 90 | 120 | | 120 | | | | |
| DP34T 1600 cm² Stelldruck schließt  (durch Feder einfahrend) | erforderlicher Stelldruck (bar) | 1,5 | I./II./III. | (bar) | 1,7 | 1 | | | | | | | | | | | | |
| | | 2 | I./II./III. | (bar) | 4,1 | 2,6 | | | | | | | | | | | | |
| | | 3 | I./II./III. | (bar) | 9 | 5,7 | | | | | | | | | | | | |
| | | 4 | I./II./III. | (bar) | 14 | 8,9 | | | | | | | | | | | | |
| | | 5 | I./II./III. | (bar) | 18,9 | 12 | | | | | | | | | | | | |
| | | 6 ²⁾ | I./II./III. | (bar) | 23,8 | 15,2 | | | | | | | | | | | | |

- I. Fig. 425: EPDM-Abdichtung
- II. Fig. 425: PTFE- / Reingraphit-Packung
- III. Fig. 426: Faltenbalgabdichtung

¹⁾ max. zul. Differenzdruck bei Durchfluss

²⁾ max. zulässiger Stelldruck: 6 bar Einschränkung: a) 5 bar b) 4,5 bar c) 4 bar d) 3,5 bar e) 3 bar f) 2,5 bar

max. zulässige Schließdrücke bei Anströmung gegen Schließrichtung des Kegels und bei P2 = 0.
Begrenzung durch Druck-Temperatur-Zuordnung beachten, siehe Seite 2.

| DN | | | | | | 300 | | | 350 | | | 400 | | | 500 | | | | |
|---|-----------------------------------|---------------------------------|-----------|-----|-------------|--------|--------|--------|--------|------|------|------|------|------|------|------|------|------|--|
| Laternenkegel | Kvs-Wert | | | | | (m³/h) | 630 | 1000 | 1500 | 1000 | 1500 | 1800 | 1500 | 1800 | 2500 | 1800 | 2500 | 4000 | |
| | max. Differenzdruck ¹⁾ | | | | | (bar) | 14 | | 12 | 14 | 12 | | 12 | | | 12 | | 10 | |
| Lochkegel | Kvs-Wert | | | | | (m³/h) | 400 | 630 | 1000 | 630 | 1000 | 1500 | 1000 | 1500 | 1800 | 1500 | 1800 | 2500 | |
| | max. Differenzdruck ¹⁾ | | | | | (bar) | 30 | | | 30 | | | 30 | | | 30 | | | |
| Sitz-Ø | | | | | | (mm) | 200 | 250 | 301 | 250 | 301 | 351 | 301 | 351 | 380 | 351 | 380 | 480 | |
| Hub | | | | | | (mm) | 65 | | 90 | 65 | 90 | 120 | 90 | 120 | | 120 | | | |
| DP34Tri 2400 cm² Feder schließt  (durch Feder ausfahrend) | Federbereich (bar) | erforderlicher Stelldruck (bar) | 0,4 - 1,2 | 1,7 | I./II./III. | (bar) | 2,1 a) | 1,3 a) | 1,3 a) | | | | | | | | | | |
| | | | 1,0 - 2,0 | 2,5 | I./II./III. | (bar) | 6,6 a) | 4,1 a) | 4,1 a) | | | | | | | | | | |
| | | | 2,0 - 4,0 | 4,5 | I./II./III. | (bar) | 14 a) | 8,9 a) | 8,9 a) | | | | | | | | | | |

- I. Fig. 425: EPDM-Abdichtung
- II. Fig. 425: PTFE- / Reingraphit-Packung
- III. Fig. 426: Faltenbalgabdichtung

¹⁾ max. zul. Differenzdruck bei Durchfluss

²⁾ max. zulässiger Stelldruck: 5 bar Einschränkung: a) 5 bar b) 4,5 bar c) 4 bar d) 3,5 bar e) 3 bar f) 2,5 bar

max. zulässige Schließdrücke bei Anströmung gegen Schließrichtung des Kegels und bei P2 = 0.
Begrenzung durch Druck-Temperatur-Zuordnung beachten, siehe Seite 2.

| DN | | | | | | | 300 | | | 350 | | | 400 | | | 500 | | | | | |
|--|-----------------------------------|-----------|--------|---------------------------------|------|------|-------------|------|-------|------|------|------|------|------|------|-----|-----|-----|-----|-----|-----|
| Laternenkegel | Kvs-Wert | | (m³/h) | 630 | 1000 | 1500 | 1000 | 1500 | 1800 | 1500 | 1800 | 2500 | 1800 | 2500 | 4000 | | | | | | |
| | max. Differenzdruck ¹⁾ | | (bar) | 14 | | 12 | 14 | | 12 | | 12 | | | 12 | | 10 | | | | | |
| Lochkegel | Kvs-Wert | | (m³/h) | 400 | 630 | 1000 | 630 | 1000 | 1500 | 1000 | 1500 | 1800 | 1500 | 1800 | 2500 | | | | | | |
| | max. Differenzdruck ¹⁾ | | (bar) | 30 | | | 30 | | | 30 | | | 30 | | | | | | | | |
| Sitz-Ø | | | (mm) | 200 | 250 | 301 | 250 | 301 | 351 | 301 | 351 | 380 | 351 | 380 | 480 | | | | | | |
| Hub | | | (mm) | 65 | | 90 | 65 | 90 | 120 | 90 | 120 | | 120 | | | | | | | | |
| DP35 2800 cm² Feder schließt  (durch Feder ausfahrend) | Federbereich (bar) | 1,8 - 3,8 | | erforderlicher Stelldruck (bar) | 4,3 | | I./II./III. | | (bar) | 23 | 14,7 | 7,8 | 14,7 | 7,8 | 4,3 | 7,8 | 4,3 | 3,6 | 4,3 | 3,6 | 2,2 |
| | | | | | | | | | | | | | | | | | | | | | |

| DN | | | | | | | 300 | | | 350 | | | 400 | | | 500 | | | | | |
|---|-----------------------------------|-----|--------|-------------|-------|------|------|------|------|------|------|------|------|------|------|------|-----|--|--|--|--|
| Laternenkegel | Kvs-Wert | | (m³/h) | 630 | 1000 | 1500 | 1000 | 1500 | 1800 | 1500 | 1800 | 2500 | 1800 | 2500 | 4000 | | | | | | |
| | max. Differenzdruck ¹⁾ | | (bar) | 14 | | 12 | 14 | | 12 | | 12 | | | 12 | | 10 | | | | | |
| Lochkegel | Kvs-Wert | | (m³/h) | 400 | 630 | 1000 | 630 | 1000 | 1500 | 1000 | 1500 | 1800 | 1500 | 1800 | 2500 | | | | | | |
| | max. Differenzdruck ¹⁾ | | (bar) | 30 | | | 30 | | | 30 | | | 30 | | | | | | | | |
| Sitz-Ø | | | (mm) | 200 | 250 | 301 | 250 | 301 | 351 | 301 | 351 | 380 | 351 | 380 | 480 | | | | | | |
| Hub | | | (mm) | 65 | | 90 | 65 | 90 | 120 | 90 | 120 | | 120 | | | | | | | | |
| DP35 2800 cm² Stelldruck schließt  (durch Feder einfahrend) | erforderlicher Stelldruck (bar) | 1,5 | | I./II./III. | (bar) | 3,9 | 2,4 | | 2,4 | | | | | | | | | | | | |
| | | 2 | | I./II./III. | (bar) | 8,3 | 5,3 | 2,5 | 5,3 | 2,5 | 1,3 | 2,5 | 1,3 | 1,1 | 1,3 | 1,1 | | | | | |
| | | 3 | | I./II./III. | (bar) | 17,1 | 10,9 | 6,2 | 10,9 | 6,3 | 4,1 | 6,3 | 4,1 | 3,4 | 4,1 | 3,4 | 2,1 | | | | |
| | | 4 | | I./II./III. | (bar) | 25,9 | 16,5 | 10 | 16,5 | 10 | 6,9 | 10 | 6,9 | 5,8 | 6,9 | 5,8 | 3,6 | | | | |
| | | 5 | | I./II./III. | (bar) | 34,7 | 22,2 | 13,8 | 22,2 | 13,8 | 9,6 | 13,8 | 9,6 | 8,2 | 9,6 | 8,2 | 5,1 | | | | |
| | | 6 | | I./II./III. | (bar) | 40 | 27,8 | 17,5 | 27,8 | 17,5 | 12,4 | 17,5 | 12,4 | 10,6 | 12,4 | 10,6 | 6,6 | | | | |

- I. Fig. 425: EPDM-Abdichtung
- II. Fig. 425: PTFE- / Reingraphit-Packung
- III. Fig. 426: Faltenbalgabdichtung

¹⁾ max. zul. Differenzdruck bei Durchfluss

²⁾ max. zulässiger Stelldruck: 6 bar Einschränkung: a) 5 bar b) 4,5 bar c) 4 bar d) 3,5 bar e) 3 bar f) 2,5 bar

Stellventil in Durchgangsform mit elektrischem Antrieb AUMA

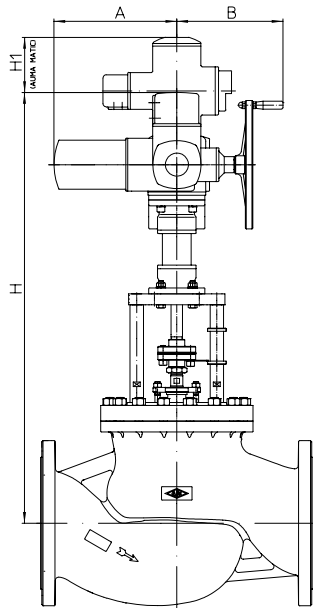


Fig. 425

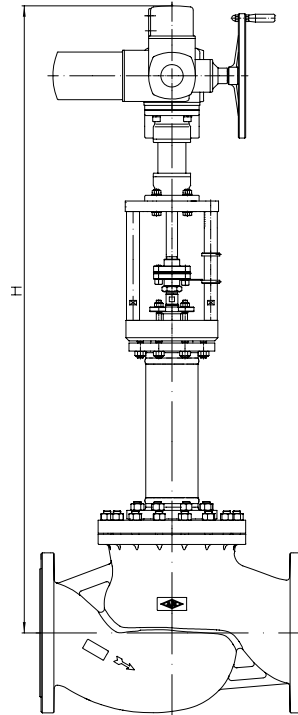


Fig. 426

| Antriebsdaten | | SAR 07.6 | SAR 10.2 | SAR 14.2 | SAR 14.6 | SAR 16.2 |
|-----------------|------|----------|----------|----------|----------|----------|
| A | (mm) | 265 | 283 | 389 | | 430 |
| B | (mm) | 249 | 254 | 336 | 339 | 365 |
| H1 (AUMA MATIC) | (mm) | 130 | | 182 | | 182 |

Motorspannung: 400V 50Hz 3~ (andere Spannungen auf Anfrage)
Weitere Technische Daten zum Antrieb siehe Leistungsliste.

Bauhöhen und Gewichte

| DN | | | | 300 | 350 | 400 | 500 |
|-----------------------|-----------------------|-----------|------|------|------|------|------|
| Fig. 425 | SAR 07.6 mit LE 25.1 | H | (mm) | 1204 | 1391 | 1428 | 1515 |
| | | PN16 | (kg) | 402 | -- | -- | -- |
| | | PN25 / 40 | (kg) | 458 | 599 | 857 | 1253 |
| | SAR 10.2 mit LE 50.1 | H | (mm) | 1291 | 1348 | 1385 | 1472 |
| | | PN16 | (kg) | 410 | -- | -- | -- |
| | | PN25 / 40 | (kg) | 466 | 607 | 865 | 1261 |
| | SAR 14.2 mit LE 70.1 | H | (mm) | 1405 | 1497 | 1534 | 1621 |
| | | PN16 | (kg) | 467 | -- | -- | -- |
| | | PN25 / 40 | (kg) | 523 | 664 | 922 | 1318 |
| | SAR 14.6 mit LE 100.1 | H | (mm) | 1405 | 1497 | 1534 | 1621 |
| | | PN16 | (kg) | 469 | -- | -- | -- |
| | | PN25 / 40 | (kg) | 525 | 666 | 924 | 1320 |
| SAR 16.2 mit LE 200.1 | H | (mm) | 1418 | 1610 | 1647 | 1734 | |
| | PN16 | (kg) | 521 | -- | -- | -- | |
| | PN25 / 40 | (kg) | 577 | 718 | 976 | 1372 | |
| Fig. 426 | SAR 07.6 mit LE 25.1 | H | (mm) | 1832 | 2020 | 2039 | 2137 |
| | | PN16 | (kg) | 497 | -- | -- | -- |
| | | PN25 / 40 | (kg) | 548 | 686 | 917 | 1323 |
| | SAR 10.2 mit LE 50.1 | H | (mm) | 1919 | 1977 | 1996 | 2094 |
| | | PN16 | (kg) | 505 | -- | -- | -- |
| | | PN25 / 40 | (kg) | 556 | 694 | 925 | 1331 |
| | SAR 14.2 mit LE 70.1 | H | (mm) | 2033 | 2126 | 2145 | 2243 |
| | | PN16 | (kg) | 562 | -- | -- | -- |
| | | PN25 / 40 | (kg) | 613 | 751 | 982 | 1388 |
| | SAR 14.6 mit LE 100.1 | H | (mm) | 2033 | 2126 | 2145 | 2243 |
| | | PN16 | (kg) | 564 | -- | -- | -- |
| | | PN25 / 40 | (kg) | 615 | 753 | 984 | 1390 |
| SAR 16.2 mit LE 200.1 | H | (mm) | 2046 | 2239 | 2258 | 2356 | |
| | PN16 | (kg) | 616 | -- | -- | -- | |
| | PN25 / 40 | (kg) | 667 | 805 | 1036 | 1442 | |

Bei Ausführung mit AUMA SAR Ex andere Bauhöhen.

Weitere Abmessungen siehe Seite 12.

max. zulässige Schließdrücke bei Anströmung gegen Schließrichtung des Kegels und bei P2 = 0.
Begrenzung durch Druck-Temperatur-Zuordnung beachten, siehe Seite 2.

| DN | | | 300 | | | 350 | | | 400 | | | 500 | | |
|----------------------------------|-----------------------------------|----------------------|------|------|------|------|------|------|------|------|------|------|------|------|
| Laternenkegel | Kvs-Wert | (m³/h) | 630 | 1000 | 1500 | 1000 | 1500 | 1800 | 1500 | 1800 | 2500 | 1800 | 2500 | 4000 |
| | max. Differenzdruck ¹⁾ | (bar) | 14 | | 12 | 14 | 12 | | 12 | | | 12 | | 10 |
| Lochkegel | Kvs-Wert | (m³/h) | 400 | 630 | 1000 | 630 | 1000 | 1500 | 1000 | 1500 | 1800 | 1500 | 1800 | 2500 |
| | max. Differenzdruck ¹⁾ | (bar) | 30 | | | 30 | | | 30 | | | 30 | | |
| Sitz-Ø | | (mm) | 200 | 250 | 301 | 250 | 301 | 351 | 301 | 351 | 380 | 351 | 380 | 480 |
| Hub | | (mm) | 65 | | 90 | 65 | 90 | 120 | 90 | 120 | | 120 | | |
| SAR 07.6 mit LE 25.1 | Schließdruck | I./II./III. (bar) | 6,4 | 4 | 2,2 | 4 | 2,2 | 1,5 | 2,2 | 1,5 | | 1,5 | | |
| | Differenzdruck ²⁾ | (bar) | 3,3 | 2,1 | 1,4 | 2,1 | 1,4 | 1 | 1,4 | 1 | | 1 | | |
| | Drehmoment | (Nm) | 60 | | | 60 | | | 60 | | | 60 | | |
| | Stellzeit (50Hz) | (s) | 71 | | 68 | 71 | 68 | 65 | 68 | 65 | | 65 | | |
| | Abtriebsdrehzahl | (min ⁻¹) | 11 | | 16 | 11 | 16 | 22 | 16 | 22 | | 22 | | |
| SAR 10.2 mit LE 50.1 | Schließdruck | I./II./III. (bar) | 11 | 7 | 4,1 | 7 | 4,1 | 3 | 4,1 | 3 | 2,5 | 3 | 2,5 | 1,5 |
| | Differenzdruck ²⁾ | (bar) | 5,6 | 3,6 | 2,4 | 3,6 | 2,4 | 1,8 | 2,4 | 1,8 | 1,5 | 1,8 | 1,5 | 1 |
| | Drehmoment | (Nm) | 120 | | | 120 | | | 120 | | | 120 | | |
| | Stellzeit (50Hz) | (s) | 59 | | 56 | 59 | 56 | 55 | 56 | 55 | | 55 | | |
| | Abtriebsdrehzahl | (min ⁻¹) | 11 | | 16 | 11 | 16 | 22 | 16 | 22 | | 22 | | |
| SAR 14.2 mit LE 70.1 | Schließdruck | I./II./III. (bar) | 19,3 | 12,3 | 7,7 | 12,3 | 7,7 | 5,6 | 7,7 | 5,6 | 4,8 | 5,6 | 4,8 | 2,9 |
| | Differenzdruck ²⁾ | (bar) | 9,3 | 6 | 4 | 6 | 4 | 3 | 4 | 3 | 2,5 | 3 | 2,5 | 1,6 |
| | Drehmoment | (Nm) | 250 | | | 250 | | | 250 | | | 250 | | |
| | Stellzeit (50Hz) | (s) | 70 | | | 70 | | 64 | 70 | 64 | | 64 | | |
| | Abtriebsdrehzahl | (min ⁻¹) | 8 | | 11 | 8 | 11 | 16 | 11 | 16 | | 16 | | |
| SAR 14.6 mit LE 100.1 | Schließdruck | I./II./III. (bar) | 39,3 | 25,2 | 16,3 | 25,2 | 16,3 | 12 | 16,3 | 12 | 10,2 | 12 | 10,2 | 6,3 |
| | Differenzdruck ²⁾ | (bar) | 15,8 | 10,1 | 6,7 | 10,1 | 6,7 | 5 | 6,7 | 5 | 4,3 | 5 | 4,3 | 2,7 |
| | Drehmoment | (Nm) | 500 | | | 500 | | | 500 | | | 500 | | |
| | Stellzeit (50Hz) | (s) | 70 | | | 70 | | 64 | 70 | 64 | | 64 | | |
| | Abtriebsdrehzahl | (min ⁻¹) | 8 | | 11 | 8 | 11 | 16 | 11 | 16 | | 16 | | |
| SAR 16.2 mit LE 200.1 | Schließdruck | I./II./III. (bar) | 40 | 40 | 28,2 | 40 | 28,2 | 20,8 | 28,2 | 20,8 | 17,8 | 20,8 | 17,8 | 11,1 |
| | Differenzdruck ²⁾ | (bar) | 27 | 17,3 | 11,5 | 17,3 | 11,5 | 8,5 | 11,5 | 8,5 | 7,3 | 8,5 | 7,3 | 4,6 |
| | Drehmoment | (Nm) | 1000 | | | 1000 | | | 1000 | | | 1000 | | |
| | Stellzeit (50Hz) | (s) | 61 | | | 61 | | 56 | 61 | 56 | | 56 | | |
| | Abtriebsdrehzahl | (min ⁻¹) | 8 | | 11 | 8 | 11 | 16 | 11 | 16 | | 16 | | |

- I. Fig. 425: EPDM-Abdichtung
- II. Fig. 425: PTFE- / Reingraphit-Packung
- III. Fig. 426: Faltenbalgabdichtung

¹⁾ max. zul. Differenzdruck bei Durchfluss

²⁾ Begrenzung durch max. zulässiges Drehmoment des Antriebs im Regelbetrieb.

Stellventil in Durchgangsform

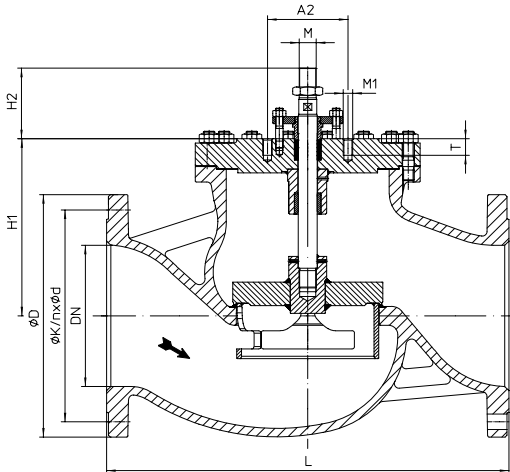


Fig. 425
DN300-500
(z.B.: DP34-35; AUMA 07.6-16.2)

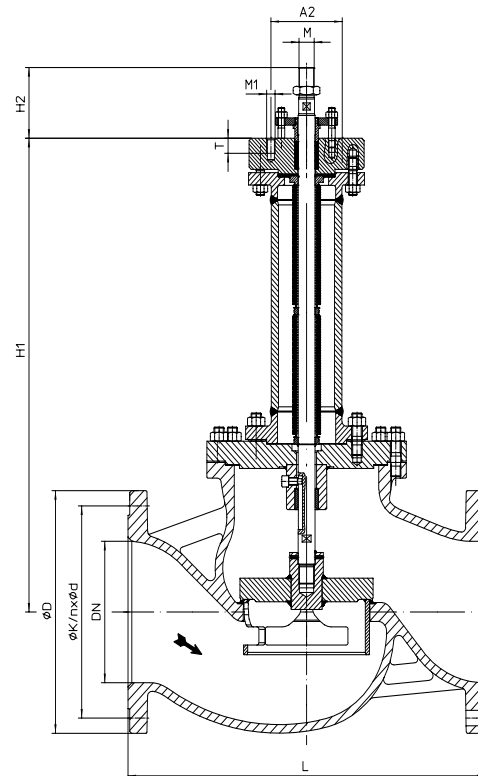


Fig. 426
DN300-500
(z.B.: DP34-35; AUMA 07.6-16.2)

| DN | 300 | 350 | 400 | 500 |
|----|-----|-----|-----|-----|
|----|-----|-----|-----|-----|

| Abmessungen | | | | | | | | | | |
|-------------|----------------|------|-----------|---------|---------|---------|---------|---------|---------|---------|
| M | Fig. 425 / 426 | (mm) | M36 x 1,5 | | | | | | | |
| H1 | Fig. 425 | (mm) | 377 | 434 | 471 | 558 | | | | |
| | Fig. 426 | (mm) | 1005 | 1063 | 1083 | 1180 | | | | |
| H2 | Fig. 425 / 426 | (mm) | 150 | | | | | | | |
| A2 | Fig. 425 / 426 | (mm) | 170 | 250 | 170 | 250 | 170 | 250 | 170 | 250 |
| n x M1 | Fig. 425 / 426 | (mm) | 4 x M20 | 4 x M27 | 4 x M20 | 4 x M27 | 4 x M20 | 4 x M27 | 4 x M20 | 4 x M27 |
| T | Fig. 425 / 426 | (mm) | 35 | 42 | 35 | 42 | 35 | 42 | 35 | 42 |

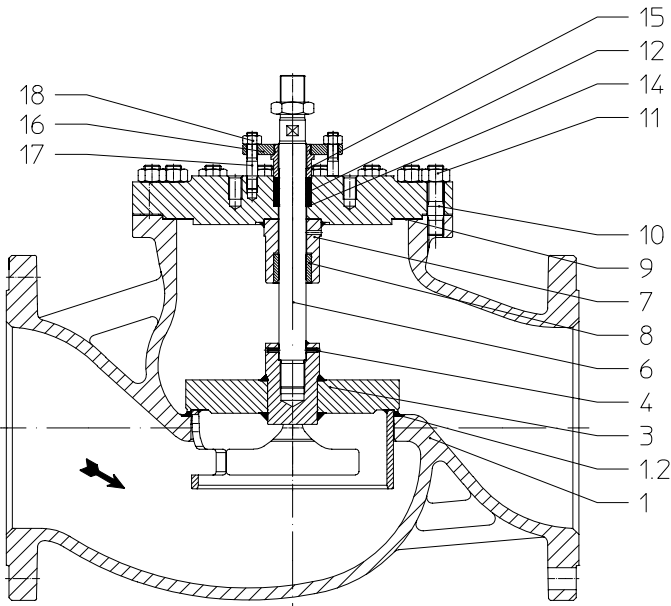
| Baulänge FTF Grundreihe 1 nach DIN EN 558 | | | | | |
|---|------|-----|-----|------|-----------------------------|
| L | (mm) | 850 | 980 | 1100 | 1350 (nach ARI-Werknorm) |

| Flansche nach DIN EN 1092-1/2 | | | Flanschbohrungen/-dickentoleranzen nach DIN 2533/2544/2545 | | | |
|-------------------------------|------|------|--|---------|---------|---------|
| ØD | PN16 | (mm) | 460 | 520 | 580 | 715 |
| | PN25 | (mm) | 485 | 555 | 620 | 730 |
| | PN40 | (mm) | 515 | 580 | 660 | 755 |
| ØK | PN16 | (mm) | 410 | 470 | 525 | 650 |
| | PN25 | (mm) | 430 | 490 | 550 | 660 |
| | PN40 | (mm) | 450 | 510 | 585 | 670 |
| n x Ød | PN16 | (mm) | 12 x 26 | 16 x 26 | 16 x 30 | 20 x 33 |
| | PN25 | (mm) | 16 x 30 | 16 x 33 | 16 x 36 | 20 x 36 |
| | PN40 | (mm) | 16 x 33 | 16 x 36 | 16 x 39 | 20 x 42 |

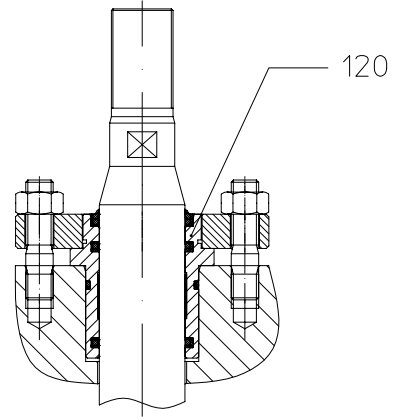
| Gewichte | | | | | | |
|----------|------|------|-----|-----|-----|------|
| Fig. 425 | PN16 | (kg) | 360 | 444 | -- | -- |
| | PN25 | (kg) | 393 | 538 | 811 | 1195 |
| | PN40 | (kg) | 416 | 557 | 815 | 1211 |
| Fig. 426 | PN16 | (kg) | 452 | 532 | -- | -- |
| | PN25 | (kg) | 484 | 626 | 871 | 1253 |
| | PN40 | (kg) | 506 | 644 | 875 | 1281 |

| max. zul. Stellkraft | | |
|----------------------|------|-----|
| Fig. 425 / 426 | (kN) | 250 |



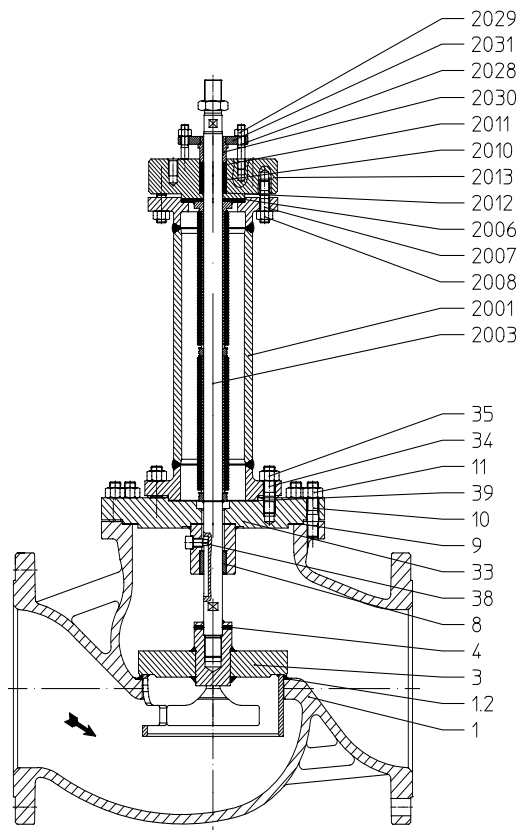


II. PTFE- / Reingraphit-Packung

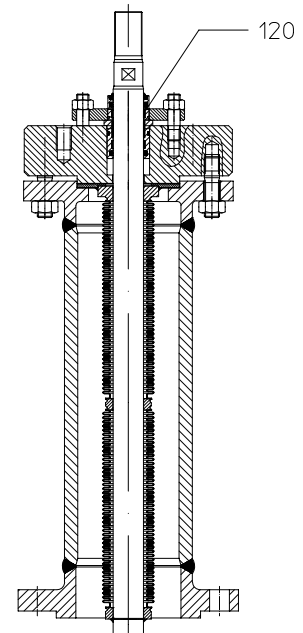


I. EPDM-Abdichtung

| Pos. | Ers. | Bezeichnung | Fig. 22.425 | Fig. 34.425 / Fig. 35.425 |
|-------------------------------------|------|-------------------|---|---------------------------|
| 1 | | Gehäuse | 5.3103 | 1.0619+N |
| 1.2 | | Sitz | 1.4021+QT | 1.4551 |
| 3 | x | Kegel | 1.0425 + 1.0037 / 1.4551 | |
| 4 | x | Spannhülse | 1.4310 | |
| 6 | x | Spindel | 1.4021+QT | |
| 7 | | Stopfbuchsgehäuse | 1.0425 + 1.0037 | |
| 8 | | Führungsbuchse | 1.4021+QT | |
| 9 | x | Flachdichtung | Reingraphit (mit CrNi-Stahlfolieneinlage) | |
| 10 | | Stiftschrauben | 1.7218 | |
| 11 | | Sechskantmuttern | 1.1181 | |
| 12 | x | Packungsringe | PTFE oder Reingraphit | |
| 14 | | Scheibe | 1.4301 | |
| 15 | x | Druckring | 1.4021+QT | |
| 16 | | Stopfbuchsbrille | 1.4021+QT | |
| 17 | | Stiftschrauben | 1.7218 | |
| 18 | | Sechskantmuttern | 1.1181 | |
| Spindelabdichtungen Fig. 425 | | | | |
| 12 | x | Packungsringe | PTFE | |
| 12 | x | Packungsringe | Reingraphit | |
| 120 | x | EPDM-Abdichtung | EPDM / 1.4305 | |
| ↳ Ersatzteile | | | | |



III. PTFE- / Reingraphit-Packung



III. EPDM-Abdichtung

| Pos. | Ers. | Bezeichnung | Fig. 22.426 | Fig. 34.426 / Fig. 35.426 |
|-------------------------------------|------|------------------------------|---|---------------------------|
| 1 | | Gehäuse | 5.3103 | 1.0619+N |
| 1.2 | | Sitz | 1.4021+QT | 1.4551 |
| 3 | x | Kegel | 1.0425 + 1.0037 / 1.4551 | |
| 4 | x | Spannhülse | 1.4310 | |
| 8 | | Führungsbuchse | 1.4021+QT | |
| 9 | x | Flachdichtung | Reingraphit (mit CrNi-Stahlfolieneinlage) | |
| 10 | | Stiftschrauben | 1.7218 | |
| 11 | | Sechskantmuttern | 1.1181 | |
| 2001 | | Faltenbalggehäuse | 1.0425 / 1.0345 | |
| 2003 | x | Spindel- / Faltenbalgeinheit | 1.4021+QT / 1.4541 | |
| 2006 | x | Flachdichtung | Reingraphit (mit CrNi-Stahlfolieneinlage) | |
| 2007 | | Stiftschrauben | 1.7218 | |
| 2008 | | Sechskantmuttern | 1.1181 | |
| 2010 | x | Packungsringe | PTFE oder Reingraphit | |
| 2011 | x | Packungsringe | PTFE oder Reingraphit | |
| 2012 | | Scheibe | 1.4301 | |
| 2013 | | Stopfbuchsgehäuse | 1.0460 | |
| 2028 | | Stiftschrauben | A4 | |
| 2029 | | Sechskantmuttern | A4 | |
| 2030 | x | Druckring | 1.4021+QT | |
| 2031 | | Stopfbuchsbrille | 1.4021+QT | |
| 33 | | Flansch | 1.0425 | |
| 34 | | Stiftschrauben | 1.7218 | |
| 35 | | Sechskantmuttern | 1.1181 | |
| 38 | | Zylinderschraube | A2-70 | |
| 39 | x | Flachdichtung | Reingraphit (mit CrNi-Stahlfolieneinlage) | |
| Spindelabdichtungen Fig. 426 | | | | |
| 120 | x | EPDM-Abdichtung | EPDM / 1.4021+QT | |
| 2010 | x | Packungsringe | PTFE oder Reingraphit | |
| 2011 | x | Packungsringe | PTFE oder Reingraphit | |
| | | ↳ Ersatzteile | | |

